

# 거대고리 착이온( $\text{NiL}^{2+}$ )의 낮은 스픈상태( $D_{4h}$ )와 높은 스픈상태( $O_h$ )간의 평형

卞鍾勲\* · 韓性彬\*\*

Equilibria between Low-spin State ( $D_{4h}$ ) and High-spin State ( $O_h$ )  
of Macroyclic Ligand Complex Ion ( $\text{NiL}^{2+}$ )

Byun Jong-chul\* and Han Sung-bin\*\*

## Summary

The chemical equilibria of Ni(II)-tetraamine(tetraamine=L, 2, 12-dimethyl-3, 7, 11, 17-tetraazabicyclo-11, 3, 1-heptadeca-1(17), 2, 11, 13, 15-pentaene) complex ion in water, acetonitrile, acetone and nitromethane were investigated using spectrophotometric method, respectively. The equilibria between low-spin( $D_{4h}$ ) and high-spin( $O_h$ ) structures of Ni-tetraamine complex ion were presented in water, acetonitrile and acetone, but not in nitromethane.

The equilibrium constants, the reaction enthalpies and the reaction entropies were determined from analysis of the temperature dependence of the electronic spectra. The formation of the triplet species ( $O_h$ ) was found to be exothermic. The solvent and electrolyte effects on the equilibrium constants could be explained by the dielectric constants of solvents and the reaction entropies.

---

\* 自然科學大學 專任講師

\*\* 自然科學大學 副教授

## 서 론

고리형 tetraamine을 리간드로 한 전이금속착이온의 대부분은 평면성이거나 평면에 가까운 사각피라밋 구조를 가진다. 그래서 이 착이온들은 축방향에 1-2개의 리간드가 결합할 수 있다. 이에 따라 이들 착이온과 중성 리간드 혹은 음이온 성 리간드 사이의 축방향 배위결합성에 관한 연구가 많이 보고(Mochizuki, 1984) 되어 있다. 평면장과 축방향 리간드장의 상대적 세기는 5배위나 6배위착물의 안정도에 큰 영향을 미친다. 착이온의 이러한 결합성 때문에 배위농이 강한 극성 용매에서 용매분자가 배위한 착이온의 형성을 가능하게 한다. 그러나 용매분자가 배위능력이 없는 비극성이라면 용액내에는 tetraamine의 사각평면 착이온만 존재한다. tetraamine의 사각평면 금속이온은 수용액에서  $H_2O$ 의 강한 결합성 때문에 사각평면 금속착이온에  $H_2O$ 가 배위한 화합물을 생성한다. 생성된 이 화합물과 사각평면 착이온은 서로 평형을 이룰 수 있어 이에 대한 연구가 많이 수행(Billo, 1984)되고 있다. 그러나 비수용액에서의 이러한 평형관계의 연구는 거의 찾아볼 수 없으며, 더욱이 이를 평형에 대한 전해질의 영향에 대한 연구는 많은 관심을 모우고 있다.

고리형 tetraamine 리간드중에 Karn and Busch(1978)에 의해 처음 합성된  $L=2,12\text{-dimethyl-3,7,11,17-tetraazabicyclo [11,3,1] heptadeca -1(17), 2,11,13,15-pentaene(CR)}$ 과  $Ni^{(II)}$  간의 착이온  $NiCR^{2+}$ 은 축방향에 열려진 반자성체로 다른 리간드와의 화학결합관계를 연구하는데 모델화합물로 이용할 수 있다. 이 외에 최근에 와서 거대고리착물의 결정학적 특성(Poon, 1978)이나 축매체의 기능 연구(Barefield, 1986)에 까지  $L=CR$  리간드를 이용하고 있다.

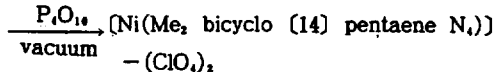
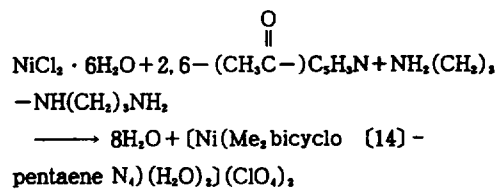
본 연구는 물, 니트로메탄, 아세토니트릴 및 아세톤에서  $NiCR^{2+}$  착물의 흡수스펙트럼의 변화를 관찰하였고, 이를 이용하여 사각 평면구조인  $NiCR^{2+}$  착이온과 용매분자 사이에 형성된 유사팔

면체 구조간의 평형관계를 분광광도법으로 고찰하였다. 아세토니트릴과 아세톤에서 이들 착이온  $D_{4h}$ 와  $O_h$ 간의 평형에 미치는 온도의 영향으로부터 열역학적 파라미터, 즉 반응엔탈피와 반응엔트로피를 측정하였다. 이 열역학적 파라미터에 대한 전해질의 영향도 함께 관찰하였다.

## 재료 및 방법

### 1. 착물의 합성 및 측정용액 제조

$2,12\text{-dimethyl-3,7,11,17-tetraazabicyclo-[11,3,1]-heptadeca-1(17), 2,11,13,15-pentaen-nickel(II) perchlorate, } [NiCR(ClO_4)_2]$ 의 합성은 이미 문헌에 보고된 바와 같이(Karn and Busch, 1978) nickel(II)chloride hexahydrate 수용액에 지방족 아민인 3,3'-diaminodipropylamine과 케톤류인 2,6-diacylpyridine을 첨가하여 합성했다. 이 축합반응식을 보면 다음과 같다.



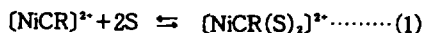
합성한  $NiCR(\text{ClO}_4)_2$ 은 따뜻한 증류수( $60^\circ\text{C}$ )에서 재결정 하였으며, 무수 에틸알코올과 무수 에틸에테르로 차례로 씻어 붉은 벽돌색을 띠는 청상구조의 착물을 얻을 수 있었다. 착물의 확인은 광학적 데이터를 문헌치(Karn and busch, 1978) ( $\lambda_{\text{max}} = 398\text{nm}$ ,  $\bar{\nu}_{\text{N-H}} = 3195\text{cm}^{-1}$ ,  $\bar{\nu}_{\text{N-C}} = 1578\text{cm}^{-1}$ )와 비교하여 확인하였다. 기타 시약,  $\text{NiCl}_2 \cdot 6\text{H}_2\text{O}$ ,  $\text{HClO}_4$ ,  $\text{C}_2\text{H}_5\text{OH}$ ,  $(\text{CH}_2\text{CH}_2)_2\text{O}$ ,  $\text{CH}_3\text{CN}$ , 2,6-diacylpyridine, 3,3'-diaminodipropylamine, acetone 등은 일급 또는 특급시약

을 사용하였다.

$\text{NiCR}^{2+}$ 의 흡수스펙트럼이나 평형관계(Collman, 1983) 실험에서  $\text{NiCR}^{2+}$ 의 농도는 물과 아세토니트릴에서  $2 \times 10^{-3}\text{M}$ 로, 아세톤에서는  $8 \times 10^{-3}\text{M}$ 로 일정하게 하였다. 각 측정 용액의 이온강도는  $\text{NaClO}_4$ 로 조절하였고,  $\text{NaClO}_4$ 의 농도~ $1.0\text{M}$  범위에서 반응(1)에 대한 전해질농도의 영향을 관찰하였다. 또  $\text{NiCR}^{2+}$  카이온과  $\text{NaClO}_4$ 는 stock 용액을 제조하여 필요한 농도만큼 묶어서 사용하였다.

## 2. 평형상수의 측정

$\text{NiCR}^{2+}$  카이온과 용매분자와의 평형은 다음과 같이 나타낼 수 있다.



위 반응식의 평형상수는 분광광도법을 이용하여 측정하였으며, 이 때 사용한 기기는 DU-Beckmann Model-25와 UV-210 A-Shimazu spectrophotometer이었다(卞과 차, 1987).

반응(1)의 K에 대한 온도의 영향은 아세토니트릴용액에서는 10, 15, 20, 25, 30°C에서 그리고 물은 점이 낮은 아세톤에서는 10, 15, 20, 25°C로 변화시키면서 관찰하였다. 상암에서 흡광도의 측정은 1.0mm 석영셀을 이용하였고, 이들 셀의 형은은 동판으로 제작한 자켓을 셀주위에 부착하고 이를 Landa Thermostat Model T-2와 연결시킨 다음 물을 순환시키면서 조절(卞과 차, 1987)하였다.

평형에 미치는 온도, 용매의 성질 및 전해질 효과(Chung, 1984) 등을 고찰하는데 필요한 분광학적 자료는 사각평면카이온,  $\text{NiCR}^{2+}$ 의 광흡수 파장인 398nm에서 얻었다.

## 결과 및 고찰

### 1. $\text{NiCR}(\text{ClO}_4)_2$ 의 스펙트럼에 대한 용매의 영향

나트로메탄은 배위능(DN=2.7) (Huheey, 1983)

이 거의 없는 용매로 알려져 있다. 따라서  $\text{NiCR}^{2+}$ 의 나트로메탄용액에서는 용매분자와  $\text{NiCR}^{2+}$  카이온간의 상호작용을 무시할 수 있으므로 사각평면구조인  $\text{NiCR}^{2+}$  카이온의 특성 흡수스펙트럼만 얻을 수 있다. Fig. 1에서 알 수 있듯이  $\text{NiCR}^{2+}$

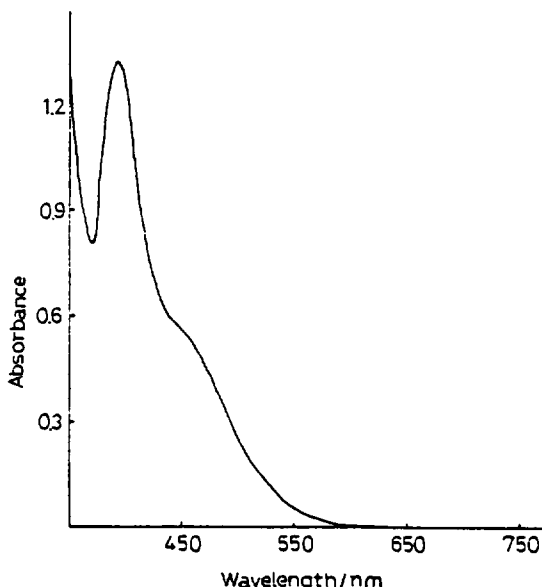


Fig. 1. Absorption spectra of  $[\text{NiCR}](\text{ClO}_4)_2$  ( $1 \times 10^{-3} \text{ mol dm}^{-3}$ ) nitromethane at 25°C.

$\text{R}^{2+}$ 을 포함한 나트로메탄용액의 흡수스펙트럼은 398nm에서 강한 흡수를 나타내었고 ( $\epsilon = 1320 \text{ mol}^{-1} \text{ dm}^3 \text{ cm}^{-1}$ ), 450nm 부근에서는 넓은 흡수띠를 나타내었다. 398nm에서 물흡광계수가 상당히 크므로 이 파장에서는  $\text{NiCR}^{2+}$  이온의 charge transfer가 일어난다고 보아야 하며, 450nm 부근의 흡수는  $\text{NiCR}^{2+}$  이온의 d-d 전이 ( $'A_{1g} \rightarrow 'A_{2g}$ )와 charge transfer가 겹쳐서 나타나는 현상이라 할 수 있다(Horst, 1984).

만약에  $\text{NiCR}^{2+}$  이온이 나트로메탄에서 반응(1)과 같은 평형을 이루고 있다면 Fig. 1의 흡수스펙트럼은 온도의 강한 영향을 받아야 한다. 그러나 Fig. 1의 흡수스펙트럼이 온도(25~40°C)의 영향

을 전혀 받지 않았으며, 이 결과로 보아 니트로메탄에서  $\text{NiCR}^{2+}$  이온은 한가지 화학종, 즉 사각평면인  $\text{NiCR}^{2+}$  이온으로만 존재한다는 것을 예상할 수 있다. 니트로메탄에 비해 배위능이 훨씬 강한 물, 아세토니트릴 및 아세톤에서  $\text{NiCR}^{2+}$  용액의 흡수스펙트럼은 예상한대로 니트로메탄에서의 그것과 완전히 다른 모양을 나타내었다. Fig. 1-2의 흡수스펙트럼을 보면 니트로메탄용액에서 나타났던 398nm와 450nm 부근의 최대흡수띠는 물, 아세토니트릴 용액에서도 역시 관찰되었다. 그러나 물, 아세토니트릴용액에서는 각 용액에서 흡수강도의 차이는 있지만, 니트로메탄용액에서 전혀 관찰할 수 없었던 흡수띠가 720nm 부근에서 나타났다.

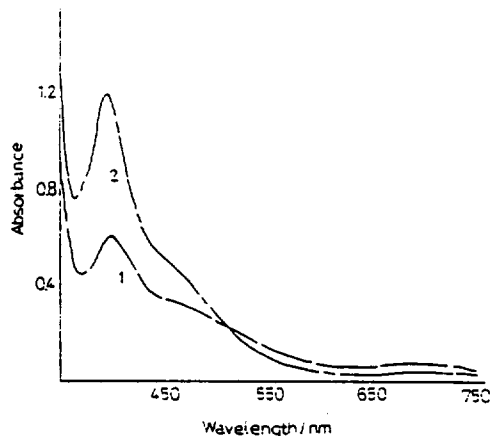


Fig. 2. Absorption spectra of  $[\text{NiCR}] (\text{ClO}_4)_2$  ( $2 \times 10^{-3} \text{ mol dm}^{-3}$ ) in acetonitrile (1) and water (2) at  $20^\circ\text{C}$  and  $1.0\text{M}$   $\text{NaClO}_4$ .

720nm에서의 흡수는  $\text{NiCR}^{2+}$  이온과 용매분자(S)간의 상호작용에서 오는 결과로 보면 물, 아세토니트릴에서는 사각평면차이온,  $\text{NiCR}^{2+}$  이외에 유사팔면체차이온,  $\text{NiCRS}_2^{2+}$ 도 포함되어 이들 간의 평형반응식(1)을 예상할 수 있다. 반응(1)에서  $n=2(S_2)$ 로 가정한 것은 다음에 기술되는 바와같이 평형상수 K를 결정하는 과정에서 증명

할 수 있다. 이에 따라 720nm에서 흡수띠는 그 강도( $\epsilon \leq 20\text{mol}^{-1} \text{dm}^3 \text{cm}^{-1}$ )로 보아  $\text{NiCRS}_2^{2+}$  차이온의 d-d전이 스펙트럼으로 볼 수 있다. 일반적으로  $\text{Ni}(\text{II})\text{N}_x\text{X}_2$  차물에서  ${}^3\text{B}_{1g} \rightarrow {}^3\text{E}_g$ 는  $8,000 - 10,000\text{cm}^{-1}$ ,  ${}^3\text{B}_{2g} \rightarrow {}^3\text{B}_{1g}$ 는  $13,000 - 15,000\text{cm}^{-1}$ 에서 d-d 스펙트럼이 나타나므로 (Lever, 1984).  $\text{NiCRS}_2^{2+}$  차이온의 720nm에서 흡수띠는  ${}^3\text{B}_{1g} \rightarrow {}^3\text{B}_{2g}$  전자전이에 해당한다고 할 수 있다.

물, 아세토니트릴, 아세톤에서 측정한 흡수스펙트럼의 특성은 사각평면종,  $\text{NiCR}^{2+}$ 의 특성파장인 398nm 부근에서 흡수의 강도는 아세톤, 물, 아세토니트릴 순서로 감소하였으며, 유사팔면체,  $\text{NiCRS}_2^{2+}$ 의 특성파장인 720nm 부근의 흡수는 아세토니트릴, 물, 아세톤의 순서로 감소하였다. 이 현상은  $\text{NiCR}^{2+}$ 에 대한 아세토니트릴의 결합력이 다른 두 용매분자 보다 강하기 때문에 나타나는 결과이므로, 반응(1)의 평형상수는 아세토니트릴용액에서 가장 클 것으로 기대된다.

## 2. 극성용매에서 $\text{NiCR}^{2+}$ 차이온의 화학평형

$\text{NiCR}^{2+}$  차이온과 용매간의 평형반응식, (1)에서 평형상수, K는 (2)식으로 나타낼 수 있다.

$$K = \frac{[\text{Ni}]_o}{[\text{Ni}]_s} = \frac{[\text{triplet}]}{[\text{singlet}]} \quad \dots \dots \dots (2)$$

여기서 노란색의  $\text{NiCR}^{2+}$ 는 사각형구조로 스핀상태는 singlet이며 용매분자, S(물, 아세토니트릴, 아세톤)가 결합된  $\text{NiCRS}_2^{2+}$ 는 푸른색의 유사팔면체구조로, 스핀상태는 triplet로 각각 알려져 있다 (Lewis, 1982).

주어진 조건에서 걸보기 흡광계수를  $\epsilon_{\text{obs}}$ , singlet종의 흡광계수를  $\epsilon_s$ , triplet종의 흡광계수를  $\epsilon_t$ 라 하면 (2)식의 평형상수, K는 (3)식으로 표현할

$$K = \frac{\epsilon_s - \epsilon_{\text{obs}}}{\epsilon_{\text{obs}} - \epsilon_t} \quad \dots \dots \dots (3)$$

수 있다. 사각평면종의 특성파장( $\lambda = 398\text{nm}$ )에서 유사팔면체종의 흡광계수는 무시할 수 있으므로 (3)식은 (4)식으로 된다.

$$K = \frac{\epsilon_s - \epsilon_{obs}}{\epsilon_{obs}} \dots \dots \dots (4)$$

물, 아세토니트릴, 아세톤에서 (4)식의 평형상수, K는 파장을 사각평면종의 특성 파장 398nm에 고정시켜 놓고 온도를 변화시키면서 각 전해질의 농도에 따라 (4)식에 의해 계산하였다. 또한 반응엔탈피( $\Delta H$ ) 및 반응엔트로피( $\Delta S$ )는 (5)식을 이용하여 구할 수 있다.

$$\ln \left( \frac{\epsilon_s - \epsilon_{obs}}{\epsilon_{obs}} \right) = \frac{\Delta S}{R} - \frac{\Delta H}{R} \left( \frac{1}{T} \right) \dots\dots\dots (5)$$

### 1) 평형에 미치는 전해질의 영향

전해질은 1:1 전해질인 NaClO<sub>2</sub>를 사용하였다. 물과 아세토니트릴용액에서는 전해질의 농도를 1M까지, 그리고 아세톤용액에서는 0.4M까지 변화시키면서 평형에 미치는 전해질의 영향을 각각 조사하였다. Fig. 3-5은 물, 아세토니트릴, 아세톤용액에서 전해질의 농도를 변화시키면서 얻은 흡수스펙트럼을 각각 나타낸다.

Fig. 3-5에 나타난 바와 같이 전해질의 농도가 증가할수록 398nm의 흡광도는 증가하였고, 720nm 부근의 흡광도는 감소하면서 620nm 부근에서 등흡광점을 나타내었다. 398nm와 720nm의 최대 흡스피어는 NiCR<sup>2+</sup>와 NiCRS<sup>2-</sup> 차이온의 특성 흡수띠를 각각 나타내므로, Fig. 3-5에서 전해질의 농도가 증가할수록 유사팔면체, NiCRS<sup>2-</sup>의 생성이 어려움을 알 수 있다.

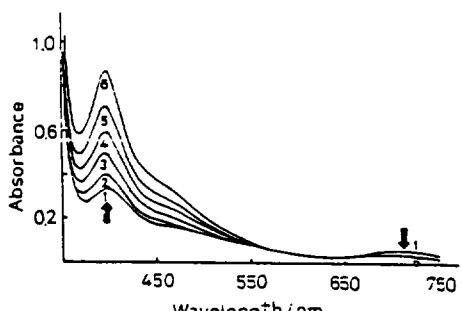


Fig. 3. Absorption spectra of  $[NiCB](ClO_4)_2$ .

( $2 \times 10^{-3}$  mol dm $^{-3}$ ) in water at various concentrations of NaClO $_4$  and 25°C.

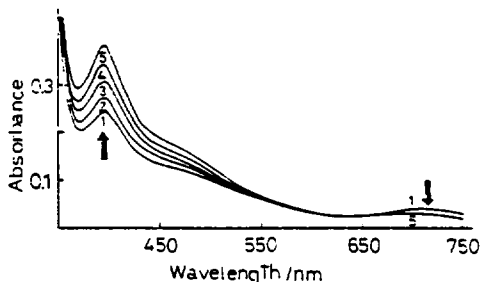


Fig. 4. Absorption spectra of  $[NiCr](ClO_4)_2$  ( $2 \times 10^{-3}$  mol dm $^{-3}$ ) in acetonitrile at various concentrations of NaClO $_4$  and 25°C

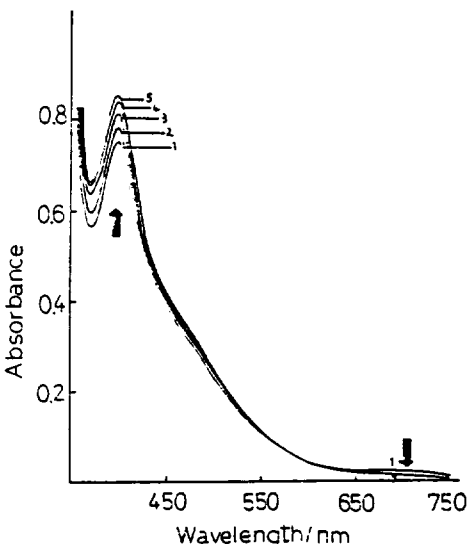


Fig. 5. Absorption spectra of  $[NiCr](ClO_4)_2$  ( $8 \times 10^{-3}$  mol dm $^{-3}$ ) in acetone various concentrations of  $NaClO_4$  and 25°C.

각 용액에서 전해질 농도에 따른 평형상수값들은 Table 1-3에 각각 수록하였는데 전해질 농도가 증가할수록 평형상수는 감소하였다. Fig. 6은 Table 1-3에 수록된 각 용액에서의 평형상수를 전해질 농도에 따라 도시한 것이다. 전해질의 농

Table 1. Electrolyte Effect on Equilibrium Constants of Reaction (1) in Water at 20°C.  $[NiCR] (ClO_4)_2 : 2 \times 10^{-3} \text{ mol dm}^{-3}$

$[NaClO_4]$ , M	0.05	0.10	0.15	0.25	0.40	0.60	0.78
K	9.31	7.95	6.61	5.23	4.09	3.15	2.27

Table 2. Electrolyte and Temperature Effects on Equilibrium Constants in Acetonitrile.  $[NiCR] (ClO_4)_2 : 2 \times 10^{-3} \text{ mol dm}^{-3}$

T/K $[NaClO_4]/M$	283	288	293	298	303
0.04	11.94	10.68	9.86	8.93	8.17
0.08	11.17	10.23	9.15	8.30	7.57
0.16	10.63	9.51	8.85	7.86	7.02
0.24	9.00	8.33	7.63	7.12	6.65
0.36	8.46	8.10	7.15	6.63	6.12
0.52	7.71	7.21	6.59	5.93	5.55
0.80	6.88	6.35	5.80	5.30	4.89

Table 3. Electrolyte and Temperature Effects on Equilibrium Constants in Acetone.  $[NiCR] (ClO_4)_2 : 8 \times 10^{-4} \text{ mol dm}^{-3}$

T/K $[NaClO_4]/M$	283	288	293	298
0.02	0.42	0.38	0.35	0.33
0.06	0.39	0.36	0.33	0.31
0.12	0.38	0.34	0.31	0.29
0.18	0.35	0.32	0.29	0.27
0.24	0.35	0.32	0.29	0.26
0.30	0.34	0.31	0.28	0.26
0.36	0.33	0.30	0.28	0.25

도가 낮을수록 평형상수에 대한 전해질 농도의 효과는 더 크게 나타났지만, 평형상수와 전해질 농도는  $\ln K = k [NaClO_4]^{\frac{1}{2}}$ 의 관계로 서로 반비

례 하였다. 이러한 관계는 전해질의 농도가 증가 할수록  $NiCR^{2+}$  카이온과 전해질, 용매와 전해질 사이의 인력이 증가하여  $NiCR^{2+}$  카이온과 용매와의 인력이 상대적으로 약화되기 때문이라 할 수 있다.

이러한 실험결과를 이용하면 binding force가 강한 용매에서는 전해질의 농도, 즉 이온강도를 적절히 조절할 때 순수한 사각평면중의 흡수스펙트럼만 얻을 수 있다는 것을 알 수 있다. 또 Fig. 6에서 알 수 있듯이 반응(1)의 평형상수에 대한 전해질의 농도영향은 아세톤에 비하여 아세토나트릴에서 더 강하게 나타났다. 용매의 특성인 donor number(아세톤 : 17, 물 : 18, 아세토나트릴 : 14.1)와 유전상수(아세톤 : 20.7, 물 : 82, 아세토나트릴 : 36) 값(卞, 1987)을 비교할 때  $NiC^{2+}$  카이온과 용매분자(S)간의 결합성은 정전인

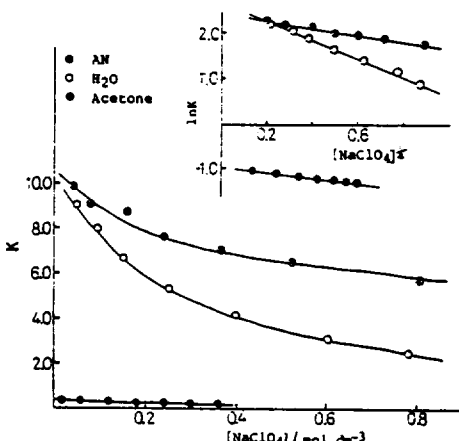


Fig. 6. Electrolyte dependency of equilibrium constants (K) for reaction (1) in acetonitrile, water and acetone at 20°C.

력에 크게 의존하는 것으로 생각된다. 이것으로 각 용매에서 전해질의 농도 증가에 따라 평형상수의 전반적인 감소 현상도 아울러 설명할 수 있다.

## 2) 평형에 미치는 온도영향

반응(1)의 평형에 대한 온도영향은 사각평면구

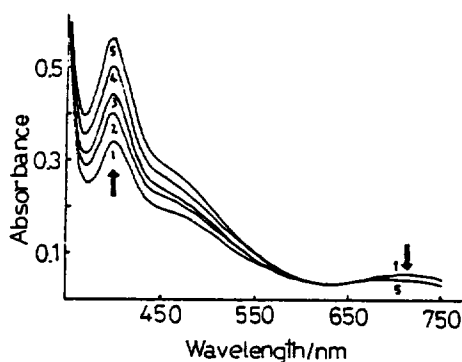


Fig. 7. Temperature effects on absorption spectrum of  $[\text{NiCR}] (\text{ClO}_4)_2 (2 \times 10^{-3} \text{ mol dm}^{-3})$  in acetonitrile at  $1.2\text{M NaClO}_4$ .  
(1 : 283, 2 : 288, 3 : 293, 4 : 298,  
5 : 303°K)

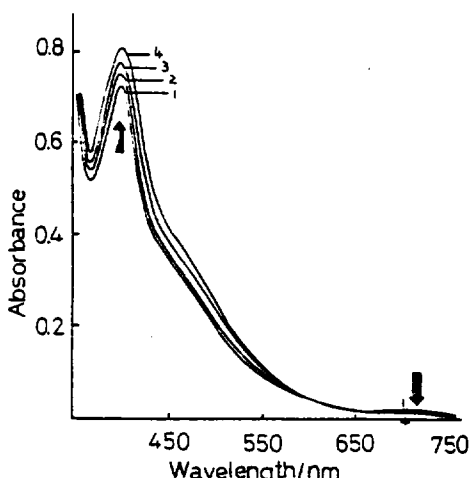


Fig. 8. Temperature effects on absorption spectrum of  $[\text{NiCR}] (\text{ClO}_4)_2 (8 \times 10^{-4} \text{ mol dm}^{-3})$  in acetone at  $0.12\text{M NaClO}_4$ .  
(1 : 283, 2 : 288, 3 : 293, 4 : 298°K)

조,  $\text{NiCR}^{2+}$  카이온의 흡수파장인  $398\text{nm}$ 에서 온도( $10\text{--}30^\circ\text{C}$ )에 따른 흡광도의 변화로부터 고찰하였다.  $\text{NiCR}^{2+}$  카이온을 포함한  $0.1\text{M NaClO}_4$  용액에서 온도를 변화시키면서 얻은 흡수스펙트럼을 Fig. 7과 8에 나타내었다. 이 흡수스펙트럼을 보면  $640\text{nm}$  부근에서 등흡광점을 나타내고 온도 증가에 따라  $\text{NiCR}^{2+}$  카이온의 흡광도( $\lambda = 398\text{nm}$ )는 증가하였지만  $\text{NiCRS}_{2+}^{2+}$  카이온의 흡광도( $\lambda = 720\text{nm}$ )는 감소하였다. Fig. 9, 10을 보면 아세토니트릴, 아세톤 용액에서 평형상수와 온도관계는 전해질의 농도에 관계없이 모두 (5)식을 잘 만족하고 있다. 측정한 K가 정확하지 않다면  $\ln K$  vs.  $T^{-1}$ 에서 Fig. 9, 10과 같은 선형관계를 얻을 수 있으므로 사각평면종의 특성파장(下, 1987),  $398\text{nm}$ 에서 유사팔면체종의 흡광계수를 무시하고 얻은 Table 1, 2, 3의 K는 정확한 값이라 할 수 있다.

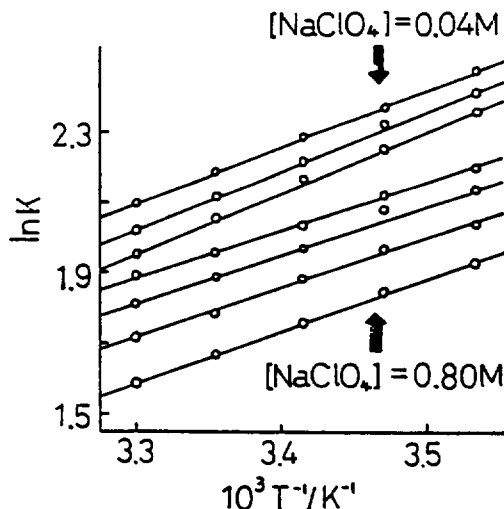


Fig. 9. Plots of  $\ln K$  against  $T^{-1}$  for  $[\text{NiCR}] (\text{ClO}_4)_2$ -acetonitrile system at various ionic strength.

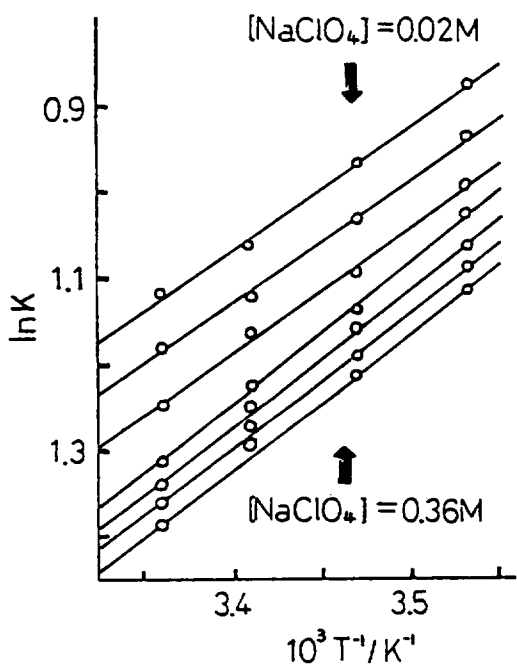


Fig. 10. Plots of  $\ln K$  against  $T^{-1}$  for  $[NiCR]-(ClO_4)_2$ -acetone system at various ionic strength.

한편 각 용액에서 구한 반응엔탈피와 반응엔트로피는 전해질의 농도에 따라 거의 비슷하였으므로 Table 4에는 평균치를 수록하였다. 반응엔탈피가 음의 값을 갖는 것은  $NiCR^{2+}$  차이온에 용매 분자가 결합할 때 발생하는 열량이 결합과정에서  $Ni-N$  결합길이가 늘어날 때 흡수하는 열량에 비하여 크기 때문이라 할 수 있다. Table 4에 수록된 엔탈피변화( $\Delta H$ )의 크기는 아세톤, 아세토니트릴용액에서 거의 비슷하므로 두 용액에서  $K$ 값의 변화는 엔트로피변화,  $\Delta S$ 의 차이로 설명할 수 있다(卞과朴, 1987). 한편 각 전해질의 농도에서 구한 반응엔트로피( $\Delta S$ )에 대한 반응엔탈피( $\Delta H$ )의 변화를 도시하여 isothermodynamic temperature( $T_{iso}$ )를 결정하였다. 여기서 얻은  $T_{iso}$ 는 약 10°C이었으므로, 반응(1)의 평형에 대한 전해질의 영향도 용매의 영향과 마찬가지로 엔트로피의 변화때문이라 할 수 있다.

Table 4. Average Values of Thermodynamic Parameters,  $-\Delta H_{av}$  and  $\Delta S_{av}$  for Reaction (1)

solvent	$(CH_3)_2CN$	$(CH_3)_2CO$
$\Delta H_{av}/10^4 J mol^{-1}$	1.26	1.32
$\Delta S_{av}/JK^{-1} mol^{-1}$	25.01	54.90

## 적 요

물, 아세토니트릴, 아세톤 및 니트로메탄에서  $Ni(II)$ -tetraamine 차물의 화학평형을 분광광도법을 이용하여 각각 관찰하였다.

$Ni(II)$ -tetraamine 차이온의 낮은 스픬( $D_{4h}$ ) 구조와 높은 스픬( $O_h$ ) 구조간의 평형이 니트로메탄을 제외한 물, 아세토니트릴, 아세톤 용액에서 나타났다. 각 용액에서 온도와  $[NaClO_4]$ 가 증가할 수록 이 반응의 평형상수는 감소하였다.

각 용매에서 반응엔탈피와 반응엔트로피는 차물의 전자 스펙트럼에 대한 온도의 영향을 분석 하므로써 결정하였다.

$O_h$  구조인 triplet 화학종의 형성시, 아세토니트릴과 아세톤 용액에서 반응엔탈피( $H_{av}/10^4 J mol^{-1}$ )와 반응엔트로피( $S_{av}/J K^{-1} mol^{-1}$ )는 각각 1.26, 1.32, 그리고 25.01, 54.90이었다.

## 참 고 문 헌

Barefield, E. K. 1986. Electrochemical and structural studies of Nickel(II) complexes of N-alkylated cyclam ligands. *Inorg. Chem.*, 25 : 552-558.

Billo, E. J. 1984. Equilibria and kinetics of complexation of bidentate ligands with the

- macrocyclic complex  $\text{Ni}([14]$  and  $\text{N}_4)^{2+}$ . *Inorg. Chem.*, 23 : 2, 223-2, 227.
- 변 종철 · 박 유철, 1987. Optical absorption and polarogram of macrocyclic  $\text{Ni}(\text{II})$ -complexes in polar solvents. *J. Kor. Chem. Soc.*, 31; 168-177.
- 변 종철, 1987.  $\text{Ni}(\text{II})$ -Macrocycle 쥐이온의 이성질체에 대한 분광학적 및 전기화학적 성질과 반응성(박사학위논문, 경북대학교)
- Chung, C. S. 1984. Substitution reactions of five-coordinate complexes. 1. Formation and aquation kinetics of the (Acido) (rac-5, 5, 7, 12, 12, 14-hexamethyl-1, 4, 8, 11-tetraazacyclotetradecane) copper(II) (Blue) cation. *Inorg. Chem.*, 23; 4, 162-4, 166.
- Collman, J. P. and J. L. Sessler 1983. Effect of axial base on dioxygen and carbon monoxide affinities of Iron(II) porphyrins. Imidazole vs. pyridine. *Inorg. Chem.*, 22; 1, 427-1, 432.
- Horst, E. and H. Paulus 1984. Copper(II) and Nickel(II) complexes of the tetra-N-methylated macrocycle dibenzocyclam: Synthesis, crystal structure, and kinetics of formation and substitution. *Inorg. Chem.*, 23; 483-490.
- Huheey, J. E. 1983. *Inorganic Chemistry* 3rd 340-360. Harper and Row. New York.
- Karn, J. L. and D. H. Busch 1978. Synthesis of 2, 12-dimethyl-3, 7, 11, 17-tetraazabicyclo [11.3.1] heptadeca-1(17), 2, 11, 13, 15-pentaene. *Inorg. Synth.*, 18; 17-20.
- Lever, A. B. P. 1984. *Inorganic Electronic Spectroscopy* 511-520. Elsevier. New York.
- Lewis, J. and Schroder M. 1982. Reduction of schiff-base macrocyclic complexes. Stabilization of Nickel(II) conjugated macrocyclic complexes via a reversible ligand-to-metal electron-transfer process. *J. Chem. Soc Dalton Trans.* 1085-1089.
- Mochizuki, K. and T. Ito 1980. Formation of five-coordinate  $\text{Ni}(\text{II})$  complexes with 2, 12-dimethyl-3, 7, 11, 17-tetraazabicyclo [11.3.1] heptadeca-1(17) 2, 11, 13, 15-pentaene analogs and halide ions in nitromethane. *Bull. Chem. Soc Jpn.*, 53; 543-544.
- Poon, C. K. 1978. Structural and mechanistic studies of coordination compounds. *J. Chem. Soc Dalton*, 1180-1185.